

## ANÁLISE DE UM EXPERIMENTO

MILTON ANTONIO ZARO, ROSA LEAMAR DIAS BLANCO e HORÁCIO ANTONIO VIELMO  
Escola de Engenharia da UFRGS<sup>(\*)</sup>

### 1. INTRODUÇÃO

No campo da Física Experimental, várias vezes repetem-se certos experimentos com o objetivo de observar e/ou comprovar certas leis básicas da Física. A determinação do equivalente mecânico do calor, é um desses experimentos que pode ser realizado com equipamento não sofisticado, a partir da transformação de energia elétrica em calor, através de um resistor colocado num calorímetro. Medições independentes desta energia permitem determinar "J".

A idéia fundamental deste trabalho, não é apenas apresentar um experimento ou uma técnica, mas mostrar como se pode explorar um experimento relativamente simples, relacionar uma série de dados e observações, e quem sabe, atingir uma maior compreensão de certas leis físicas. A maneira como se escreve e analisa uma equação, os cuidados na preparação e execução de um experimento (bem como na coleta de dados), são regras básicas que podem levar o pesquisador a extrair, mesmo de um experimento simples, conclusões claras e precisas a respeito de determinadas situações. É muito construtivo poder salientar os mais importantes aspectos que podem ser inferidos de uma dada situação experimental, além de, é claro, avaliar mais concretamente se determinadas condições são realmente secundárias.

### 2. FUNDAMENTOS TEÓRICOS

Considerando que o calorímetro seja o sistema termodinâmico mostrado na Figura 1 tem-se, da 1ª Lei da Termodinâmica, que:

$$\frac{\delta Q}{\delta \theta} = \frac{dU}{d\theta} + \frac{dEC}{d\theta} + \frac{dEP}{d\theta} + \frac{\delta W}{\delta \theta} \quad (1)$$

---

<sup>(\*)</sup> Escola de Engenharia da UFRGS, DEMEC, Rua Sarmiento Leite, 425, 90050, Poa, RS, Brasil.

onde:

- Q - calor que ultrapassa a fronteira do sistema termodinâmico
- U - energia interna do sistema
- EC - energia cinética do sistema
- EP - energia potencial do sistema
- W - trabalho que ultrapassa a fronteira do sistema
- $\theta$  - tempo

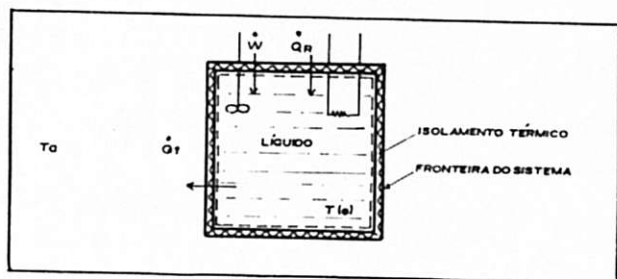


Fig. 1 - Sistema Termodinâmico

Supondo que não há variação de energia cinética e potencial, e que a potência entregue pelo agitador é desprezível frente ao nível de precisão do experimento, tem-se, da equação (1), adotando o sinal positivo para o calor que entra no sistema por unidade de tempo ( $\dot{Q}_R$ , proveniente do resistor) e o sinal negativo para o calor que sai do sistema por unidade de tempo ( $\dot{Q}_t$ , transmitido ao meio através das paredes do sistema), que:

$$\frac{dQ_R}{d\theta} - \frac{dQ_t}{d\theta} = \frac{dU}{d\theta} \quad (2)$$

Quanto ao calor transmitido para o meio, pode-se dizer que:

$$\frac{dQ_t}{d\theta} = \mu S (T(\theta) - T_a) \quad (3)$$

onde:

- $\mu$  - coeficiente global de troca de calor entre o líquido e o meio, suposto constante
- S - superfície de troca de calor
- $T(\theta)$  - temperatura do líquido, que depende do tempo considerado
- $T_a$  - temperatura do meio, suposta constante durante o intervalo de tempo do experimento.

O circuito de troca de calor entre a água e o meio é o representado na Figura 2.

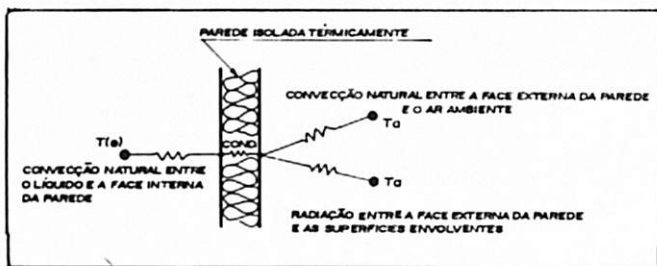


Fig. 2 - Circuito Térmico

Sabe-se que  $\mu = 1/\Sigma R$ , onde  $\Sigma R$  é o somatório de todas as resistências térmicas mostradas no circuito térmico da Figura 2.  $\mu$  pode ser considerado constante, já que a resistência térmica dominante deverá ser a de condução, além do fato de serem relativamente pequenos os intervalos de temperatura de trabalho.

Fazendo  $\mu S = K$ , na equação (3), tem-se:

$$\frac{dQ_t}{d\theta} = K(T(\theta) - T_a) \quad (4)$$

Quanto à variação de energia interna do sistema com o tempo pode-se dizer que:

$$\frac{dU}{d\theta} = mc_p \frac{dT}{d\theta} \quad (5)$$

onde:

$m$  - massa do sistema líquido + materiais do recipiente, fios e létricos, resistor, agitador e termômetro

$c_p$  - calor específico a pressão constante do sistema.

Substituindo as equações (4) e (5) na equação (2) tem-se:

$$\frac{dQ_R}{d\theta} = K(T(\theta) - T_a) + mc_p \frac{dT}{d\theta}$$

Note-se que  $\frac{dT}{d\theta} = \frac{d(T - T_a)}{d\theta}$  e, fazendo  $T - T_a = v$ , tem-se:

$$\frac{dQ_R}{d\theta} = Kv + mc_p \frac{dv}{d\theta} \quad (6)$$

Se essa taxa de calor  $dQ_R/d\theta$  for transferida ao sistema através de um resistor que esteja dissipando uma potência  $P$  (watts), tem-se:

$$P = J \frac{dQ_R}{d\theta} \quad (7)$$

onde  $J$  é o equivalente mecânico do calor (1 cal = 4,186 Joules). Desse modo, a equação (6) pode ser escrita:

$$P = J \left( Kv + mc_p \frac{dv}{d\theta} \right) \quad (8)$$

A equação (8) é uma equação diferencial não homogênea. Assumindo  $K$ ,  $c_p$ ,  $m$  e  $P$  constantes, esta equação é linear de coeficientes constantes, podendo ser integrada facilmente, quando expressa na forma

$$\int d\theta = \int \frac{dv}{a-bv}$$

ou

$$\theta = -\frac{1}{b} \ln(a-bv) + A \quad (9)$$

onde  $a = \frac{P}{Jmc_p}$ ;  $b = \frac{K}{mc_p}$  e  $A$  é uma constante de integração que depende das condições iniciais.

Da equação (9) tem-se:

$$v = \frac{a}{b} - \exp[-b(\theta+A)] \quad (10)$$

Impondo como condição de contorno que para  $\theta=0$ ,  $v=v_0$  e substituindo na equação (10) obtém-se:

$$v_0 = \frac{a}{b} - \exp[-bA]$$

$$\exp(-bA) = \frac{a}{b} - v_0$$

$$-bA = \ln\left(\frac{a}{b} - v_0\right)$$

$$A = -\frac{1}{b} \ln\left(\frac{a}{b} - v_0\right) \quad (11)$$

Deste modo a equação (10) pode ser escrita da forma:

$$v = \frac{a}{b} - \left(\frac{a}{b} - v_0\right) \exp(-b\theta)$$

ou

$$v = \frac{P}{KJ} - \left(\frac{P}{KJ} - v_0\right) \exp\left(-\frac{K}{m c_p} \theta\right) \quad (12)$$

Observa-se da equação (12) e da Figura 3 que se  $\theta$  tende a  $\infty$ ,  $v$  tende a  $P/KJ$  (esta situação do ponto de vista prático, não interessa).

Calculando-se o valor de  $dv/d\theta$  para  $\theta=0$  tem-se:

$$\left.\frac{dv}{d\theta}\right|_{\theta=0} = \frac{K}{m c_p} \left(\frac{P}{KJ} - v_0\right) \quad (13)$$

Portanto, da equação (13) vem

$$J = \frac{P}{K \left( v_0 + \frac{m c_p}{K} \left.\frac{dv}{d\theta}\right|_{\theta=0} \right)} \quad (14)$$

Se a condição de contorno imposta na equação (10) for que para  $\theta=0$ ,  $v=0$ , ou seja, que o experimento inicia na temperatura ambiente,  $T_a$ , então a equação (12) é:

$$v = \frac{P}{KJ} \left[ 1 - \exp\left(-\frac{K}{m c_p} \theta\right) \right] \quad (15)$$

e a equação (14) é:

$$J = \frac{P/m c_p}{\left.\frac{dv}{d\theta}\right|_{\theta=0}} \quad (16)$$

Desta forma, ao construir o gráfico da Figura 3, a partir dos dados obtidos num experimento e conhecendo-se  $P$ ,  $C_p$  e  $m$ , pode-se determinar o valor de  $J$ , sem conhecer o valor de  $K$ .

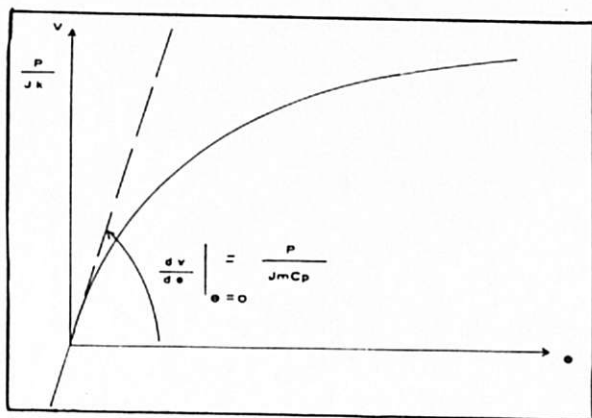


Fig. 3 - Gráfico  $v \times \theta$

### 3. PARTE PRÁTICA

Uma certa massa de água é colocada num calorímetro, ambos a temperatura ambiente. O conjunto é aquecido através de um resistor mergulhado na água, pelo qual se faz circular corrente elétrica. Uma fonte de tensão constante garante que a potência fornecida seja mantida constante. A potência é ajustada de modo que o aquecimento seja suficientemente lento, de modo a garantir a homogeneidade do banho (agitando lentamente o calorímetro).

A temperatura pode ser medida com um termômetro de mercúrio ou com um termopar (a vantagem do uso do termopar prende-se ao fato de ser gerado um sinal elétrico que pode ser registrado, ou processado através de um micro-computador, mas certamente tornaria o experimento mais complexo). O sistema é aquecido a partir da temperatura ambiente, até uma temperatura final superior à ambiente. Registra-se a temperatura atingida pelo sistema, ao longo do tempo, e a seguir graficam-se os valores obtidos, determinando-se, graficamente, a derivada desta curva em torno da temperatura ambiente, conforme mostra a Figura 3.

A Figura 4 mostra esquematicamente, a montagem do experimento. Utilizando-se uma lata de cerveja, cuja parte superior foi cortada, como calorímetro. A lata foi embutida (sem folga) num recipiente de isopor, cuja parede tem cerca de 1 cm de espessura, e uma tampa também de isopor, na qual foram feitos três orifícios: um para o termômetro e os outros dois para a passagem dos fios que estão

conectados ao resistor de aquecimento.

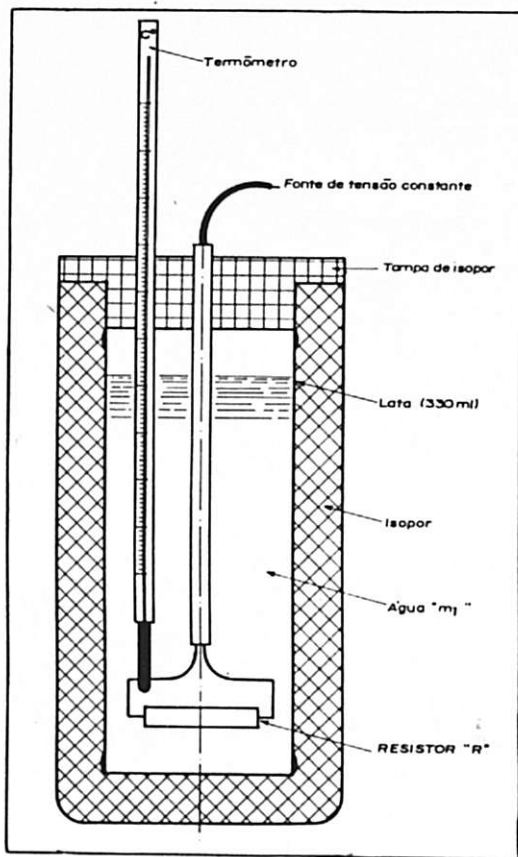


Fig. 4 - Calorímetro utilizado - o resistor R ligado à fonte de tensão constante transforma energia elétrica em térmica.

O resistor de aquecimento usado foi um resistor comercial de carbono de  $200\Omega$  - 5W, soldado em fios comuns de conexão. A tensão foi mantida constante, em torno de 40V, através de uma fonte c.c. regulada e estabilizada (a flutuação da tensão foi inferior a 1%). A temperatura foi medida com um termopar tipo K, com bainha de aço inox, de diâmetro 3mm, acoplado a um milivoltímetro registrador ( $\pm 0,2\%$ ). Note-se que a temperatura poderia ter sido medida com um termômetro

comum, de mercúrio, dispensando o registrador, que obviamente trata-se de um equipamento mais sofisticado.

Como o calorímetro é constituído de dois materiais (lata + isopor) tornar-se-ia bastante complexo tentar avaliar o calor específico do calorímetro. Desta forma, supõe-se que o calorímetro seja "de água", e pode-se, então, introduzir o conceito de "equivalente em água" do calorímetro (ou seja, a quantidade de água que dissiparia ou absorveria a mesma quantidade de calor que o calorímetro).

Para determinar o equivalente de água do calorímetro aquece-se uma quantidade de água  $m_a$  a uma temperatura  $T_1$  e joga-se no calorímetro que está a uma temperatura inicial  $T_0$ , sendo  $T_0 < T_1$ .

Espera-se que o sistema atinja o equilíbrio térmico a uma temperatura  $T$ . Desprezando-se as perdas de calor, pode-se escrever:

$$m_a c_a (T_1 - T) = m_c c_c (T - T_0) \quad (17)$$

onde

$c_a$  é o calor específico da água,  $1 \text{ cal g}^{-1} \text{ } ^\circ\text{C}^{-1}$  ;

$m_c$  é a massa do calorímetro;

$c_c$  é o calor específico do calorímetro.

A equação (17) pode, usando o conceito de "equivalente em água do calorímetro", ser escrita da seguinte forma:

$$m_a c_a (T_1 - T) = m_e c_a (T - T_0) \quad (18)$$

onde

$m_e$  é o equivalente em água do calorímetro.

Conhecido o equivalente em água do calorímetro, pode-se então, realizar o experimento para a determinação de  $J$  (lembre-se que  $m = m_a + m_e$ , na expressão (16)), cuja montagem pode ser visualizada na Figura 4.

O procedimento experimental adotado foi o seguinte: colocou-se uma quantidade de água  $m_1 = (300 \pm 5) \text{ g}$  no calorímetro, cujo equivalente em água é  $m_e = (14 \pm 4) \text{ g}$ . Um resistor de  $(194 \pm 5\%) \Omega$ , mantido a uma d.d.p. constante de  $(40,0 \pm 0,4) \text{ V}$  foi fixado no interior do calorímetro. O sistema, inicialmente, encontrava-se à temperatura ambiente de  $24,1^\circ\text{C}$ .

O sistema foi aquecido durante um intervalo de  $\approx 30$  minutos. A Tabela I mostra os dados obtidos. A Figura 5 mostra o grá-



fico  $v$  versus  $\theta$  dos dados da Tabela 1.

$\theta$ (min)	$T$ ( $^{\circ}\text{C}$ )	$v = T - T_a$ ( $^{\circ}\text{C}$ )
0	24,1	0,0
2	24,8	0,7
4	25,6	1,6
10	27,9	3,8
15	29,7	5,7
20	31,5	7,4
26	33,3	9,2
29	34,7	10,6

TABELA 1 - Resultados experimentais (Temperatura ambiente,  $T_a = 24,1^{\circ}\text{C}$ ).

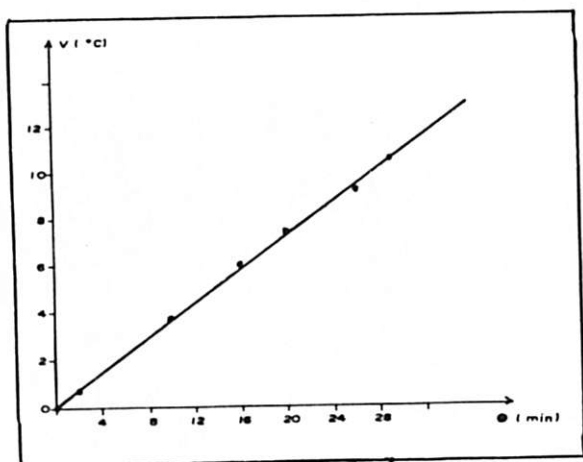


Fig. 5 - Resultados experimentais

A derivada gráfica, na Figura 5, para  $v = 0$  é  $\left. \frac{dv}{d\theta} \right|_{\theta=0} = (6,2 \times 10^{-3} \pm 5\%)^{\circ}\text{C/s}$ .

Com os dados de  $m_1 = (300 \pm 5)\text{g}$  e  $m_e = (14 \pm 4)\text{g}$ , tem-se

$$m = m_1 + m_e = (314 \pm 6)\text{g} = (314 \pm 2\%)\text{g}$$

Com os dados da tensão  $V$  e da resistência  $R$ , resulta:

$$P = \frac{V^2}{R} = (8,2 \pm 5\%)W \quad .$$

Lembrando que  $c_p = 1 \text{ cal/g}^\circ\text{C}$  e introduzindo estes dados na equação (16), tem-se para o equivalente mecânico do calor:

$$J = (4,2 \pm 0,3)J \cdot \text{cal}^{-1} \quad .$$

Pode-se observar que o termo  $m = m_1 + m_e$ , é muito mais afetado pela incerteza de  $m_1$  do que de  $m_e$ . Isto é, mesmo que  $m_e$  se ja determinado com a imprecisão de 30% a 40%, como seu valor comparado com  $m_1$ , é pequeno, esta incerteza é praticamente negligenciável no valor final da incerteza de  $J$ .

#### 4. DISCUSSÃO DOS RESULTADOS

Calculando-se  $\left. \frac{dv}{d\theta} \right|_{\theta=0}$  a partir da expressão (15) nota-se que este independe do valor de  $K$ . Tem-se, também, que a solução proposta para a equação diferencial (8) pressupõe que  $K$  seja constante.

#### BIBLIOGRAFIA

- M.A. Zaro & I.G. Borchardt, "Instrumentação - Guia de Aulas Práticas", Ed. UFRGS, Porto Alegre, 1982.
- J.P. Hollmann, "Métodos Experimentales para Ingenieros", McGraw-Hill, 1979.
- L.A. Ramos, "Física Experimental", Ed. Mercado Aberto, Porto Alegre, 1985.
- Apostilas Práticas de Física II, ITA, 1973.
- F. Kreith, "Princípios da Transmissão de Calor", Ed. Edgard Blücher, 1977.